
Kapitel 3

Anfragen auf räumlichen Objekten

Skript zur Vorlesung: Spatial, Temporal, and Multimedia Databases
Sommersemester 2008, LMU München

© 2007 Prof. Dr. Hans-Peter Kriegel, Dr. Peer Kröger, Dr. Peter Kunath, Dr. Matthias Renz, Arthur Zimek

Übersicht

3.1 Schnitthanfragen räumlicher Objekte

- Raumpartitionierende Anfrage-Methoden
- Datenpartitionierende Anfrage-Methoden

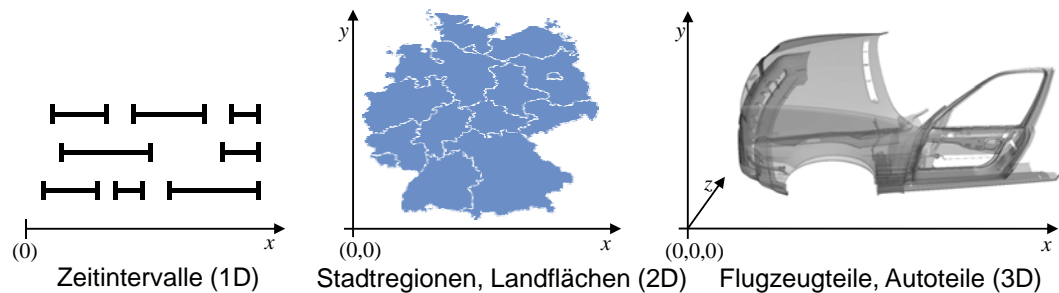
3.2 Ähnlichkeitssuche in räumlichen Objekten

- Invarianten
- Räumliche Partitionierungen
- Räumliche Features

3.1 Schnitthanfragen räumlicher Objekte

– Allgemeines

- Unter räumlichen Objekten verstehen wir Objekte mit räumlichem Bezug (Lage im Raum) und räumlicher Ausdehnung.
- Räumliche Objekte können neben den räumlichen Attributen auch nicht-räumliche Attribute enthalten, wie z.B. Objekt-ID, Bezeichnung, Farbe, Material, etc.
- Beispiele von räumlichen Objekten:

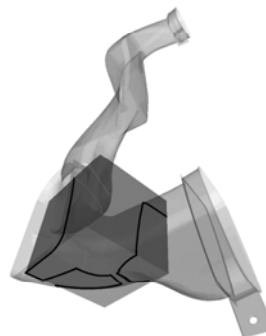


– Anfragen auf räumlich ausgedehnten Objekten (GEO-Objekte, CAD-Objekte)



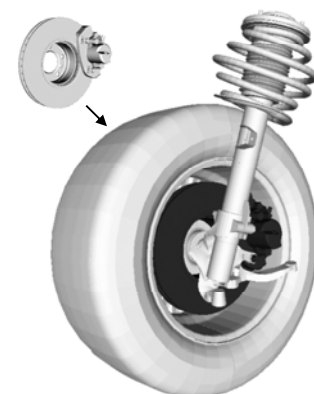
Bereichsanfragen in GEO Datenbanken:

Welche Strassen durchlaufen das ausgewählte Fenster?



Räumliche Selektion:

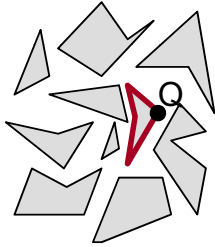
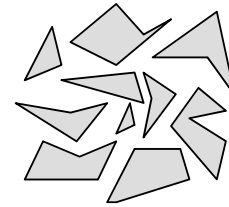
Welche Bauteile befinden sich in der angegebenen Anfragebox?



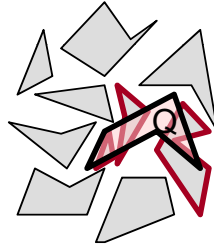
Schnitthanfragen:

Welche Maschinenteile haben direkten Kontakt mit der vorderen rechten Bremsscheibe?

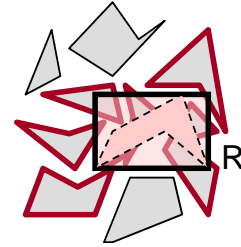
- Gegeben:
Menge mit räumlich ausgedehnten Objekten
- Zu unterstützende Anfragen:



Punkt-Anfrage



Schnitt-Anfrage



Fenster-Anfrage

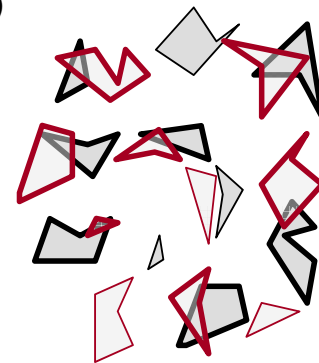
Gegeben ein Anfragepunkt P , ein Anfrageobjekt Q , bzw. ein Anfragerechteck R (2D)

- Punkt-Anfrage: Finde die Objekte, die P enthalten.
- Schnitt-Anfrage: Finde die Objekte, die Q schneiden.
- Fenster-Anfrage: Finde die Objekte, die R schneiden.

- Zu unterstützende Anfragen (Forts.)
 - Räumliche Verbund-Anfrage (Spatial Join)

Gegeben:

Zwei Mengen $M = \{Obj_{M,1}, \dots, Obj_{M,m}\}$,
 $N = \{Obj_{N,1}, Obj_{N,n}\}$ räumlich
 ausgedehnter Objekte



Spatial Join:

Finde die Menge von Objekt-Paaren
 $\{(Obj_1, Obj_2) \mid Obj_1 \in M, Obj_2 \in N \text{ und } Obj_1 \text{ schneidet } Obj_2\}$.

Auch andere räumliche Prädikate möglich, z.B.

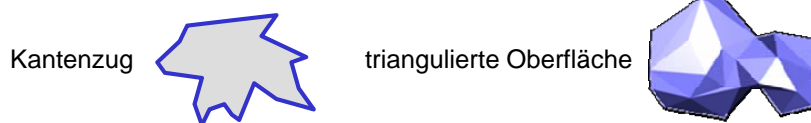
- » andere Topologien wie *enthalten-in*
- » Distanz-basierte Anfragen
- » etc.

– Ziele:

- **Effektivität**
 - Verwaltung von (komplex strukturierten) geometrischen Objekten
 - räumliche Anfragebearbeitung
 - **Effizienz**
 - kurze Antwortzeiten für Anfragen
 - schnelles Einfügen, Ändern und Entfernen
 - **Skalierbarkeit**
 - Verwaltung sehr großer Datenmengen
 - Anbindung vieler Benutzer
- Reduzierung der Beschreibungskomplexität (d.h. einfachere Darstellung der Objekte)
- Verwendung geeigneter Zugriffsstrukturen
- Mehrstufige Anfragebearbeitung

– Repräsentation Räumlicher Objekte

- Typischerweise sind räumlich ausgedehnte Objekte als geschlossener Kantenzug (2D) oder durch geschlossene triangulierte Oberflächen beschrieben.



- Für effiziente Anfragen werden in einem Filterschritt zunächst räumliche Approximationen der Objekte verwendet



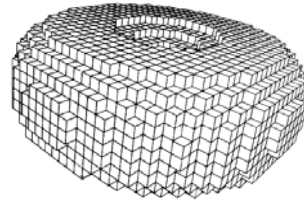
- **Raumpartitionierende Verfahren**
 - Repräsentationen durch feste Raumpartitionsgrenzen definiert
- **Datenpartitionierende Verfahren**
 - Repräsentationen durch die räumliche Ausdehnung der Daten definiert

3.1.1 Raumpartitionierende Anfrage-Methoden

- Ausgangslage: Voxel-basierte Objektbeschreibung (Raster-Modell)

- Bei der Voxel-basierten Zerlegung wird ein Körper in eine Menge identischer Zellen (i.d.R. Würfel) zerlegt, die auf einem festen regelmäßigen Gitter angeordnet sind.

- Beispiel (3D):



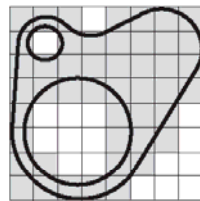
- Beschreibung der Objekte (des Objektraums) durch drei-dimensionales ARRAY [...][...][...] OF BOOLEAN (oder seltener eine Liste belegter Zellen)
- Anwendungen:
 - » Computer Tomographie, Virtual Engineering (CAD), etc.

Nachteil:

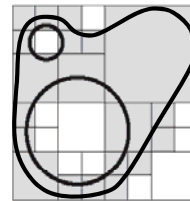
genaue Approximation mit hohem Speicherplatzaufwand verbunden
(Auflösung: n Voxel pro Dimension \rightarrow Speicherplatzaufwand = n^3)

- Octree-basierte Objektrepräsentation:

- Hierarchische Variante der Voxel-basierten Zerlegung
- Idee:
 - » hierarchische binäre Unterteilung in Quadranten/Oktanten;
 - » Darstellung durch größte Quadranten die vollständig gefüllt sind.



Voxel-basierte Zerlegung

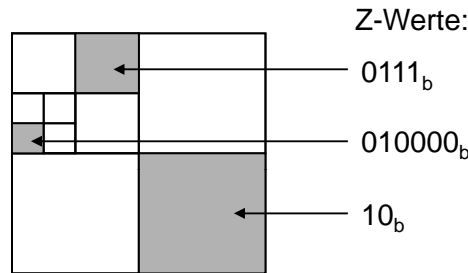


Octree (Quadtree) Zerlegung

- Vorteil:
 - » große einheitliche Flächen/Volumen Anteile werden über wenig große Partitionen (Quadranten/Oktanten) repräsentiert.
 - » Randbereiche, die eine beliebig komplexe Struktur (Form) annehmen können, werden über viele kleine Partitionen repräsentiert, die eine exaktere Darstellung erlauben.

• Indexierung

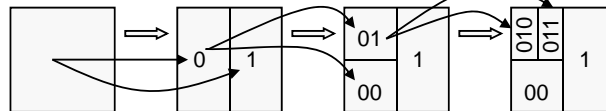
- Quadtree-Zellen durch Z-Werte benennen:



Z-Werte bestehen aus

- » Bitfolge $\langle b_1, b_2, \dots, b_n \rangle$ durch abwechselnd rechts/links und oben/unten partitionieren (links/unten $\rightarrow 0$, rechts/oben $\rightarrow 1$)
- » Level = Anzahl der Bits

rekursive Schritte für die generierung der Z-Werte:

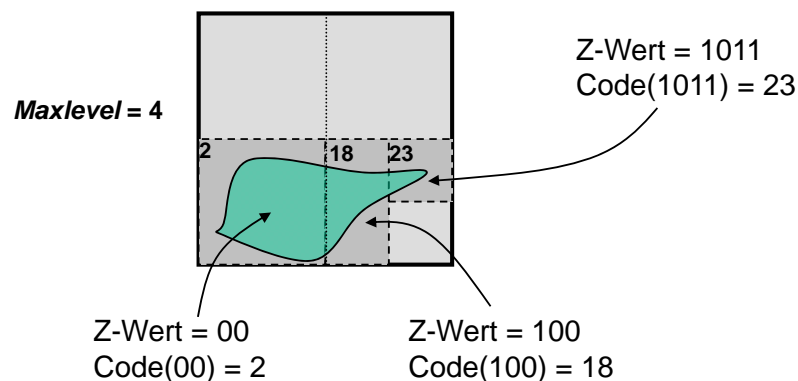


• Indexierung (Forts.)

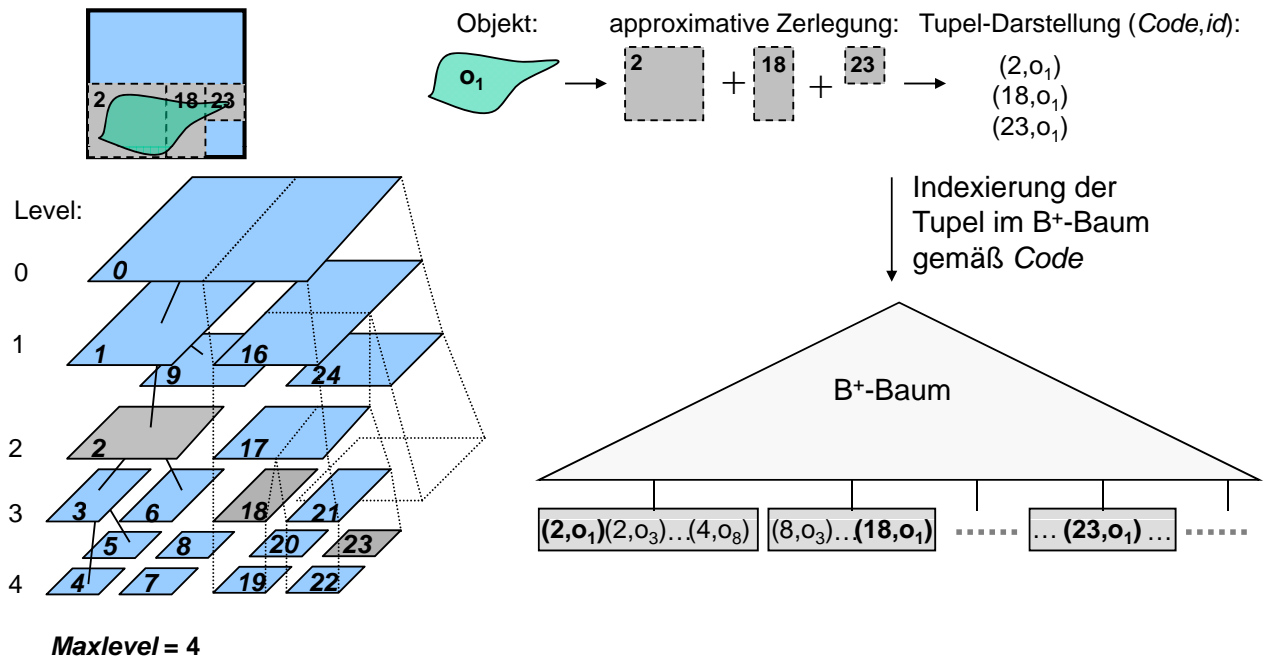
- Kodierung der Z-Werte => lineare Ordnung auf den Z-Werten

$$\text{Code}(\langle b_0, b_1, \dots, b_n \rangle) = \sum_{i=0..n} \begin{cases} 1 & \text{falls } b_i = 0 \\ 2^{(\text{MaxLevel}-i)} & \text{falls } b_i = 1 \end{cases}$$

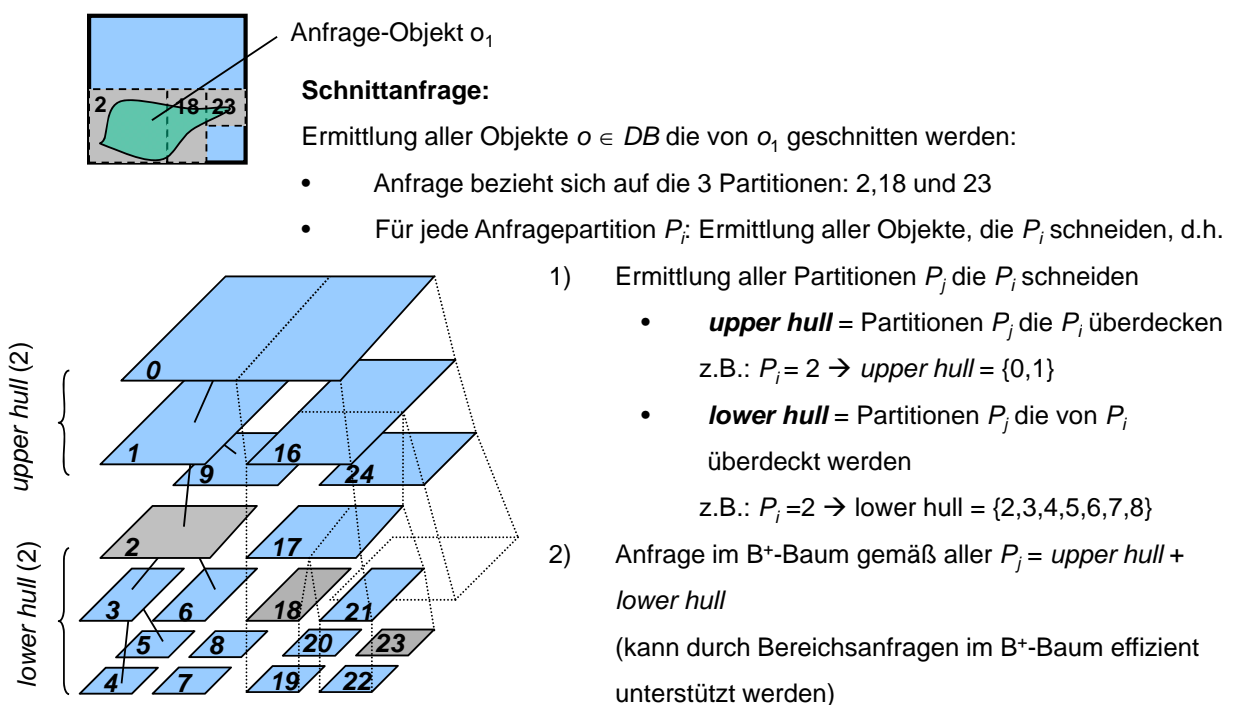
MaxLevel = maximaler Level für die rekursive Partitionierung



• Verwaltung der Objekte im B+-Baum

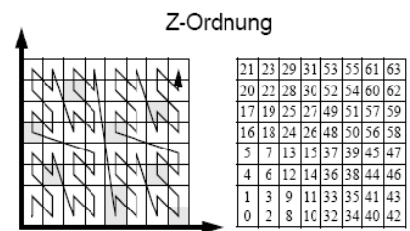
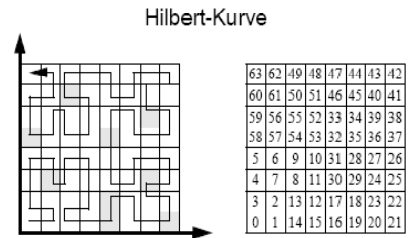
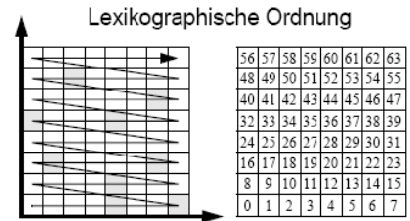


• Schnitthanfrage



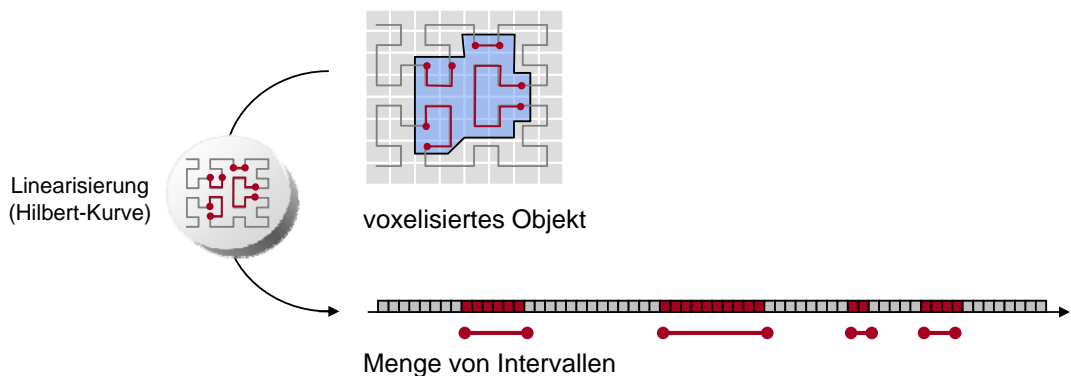
• Intervall-basierte Objektrepräsentation

- Idee: Einbettung in eindimensionalen Raum
 - » vollständige Zerlegung des Datenraums in gleichförmige disjunkte Zellen (Voxelisierung)
 - » Definition einer linearen Ordnung auf diesen Zellen (mittels raumfüllenden Kurven)
 - » Gruppierung direkt aufeinanderfolgender Zellen zu ein-dimensionalen Intervallen
- Vorteile:
 - » erlaubt auch nicht-rechteckige Repräsentationen
 - » einfache Verwaltung von Intervallen (über konventionelle (ein-dimensionale) Indexstrukturen wie den B+-Baum)
- Raumfüllende Kurven:
 - » Lexikographische Ordnung
 - » Hilbert-Kurve
 - » Z-Ordnung
- Z-Ordnung erhält die räumliche Nähe relativ gut
- Z-Ordnung ist effizient berechenbar



• Intervall-basierte Objektrepräsentation (Fortsetzung):

- Beispiel:

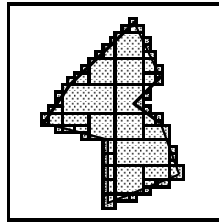


• Indexierung:

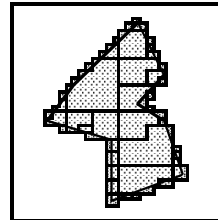
- Codierung von Intervallen
 - » lineare Ordnung entsprechend der Intervallgrenzen (Startpunkt / Endpunkt) [Bozkaya and Özsoyoglu: *Indexing Valid Time Intervals*. Int. Conf. on Database and Expert Systems Applications, 1998]
 - » indirekte Codierung der Intervalle, z.B. Relationaler Intervall-Baum [H.-P. Kriegel, M. Pötke, T. Seidl: *Managing Intervals Efficiently in Object-Relational Databases*, VLDB 2000]
- Verwaltung der Intervalle in einem B+-Baum

- Vergleich zur Quadtree-basierten Zerlegung:
 - Die Z-Ordnung-basierte Intervall-Zerlegung erzeugt signifikant weniger Redundanz als die Quadtree/Octree-basierte Zerlegung.

Beispiel:



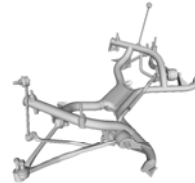
Quadtree-basierte Zerlegung
(60 Quadranten)



Z-Ordnungsbasierte Zerlegung
(41 Intervalle)

- Beobachtung:
 - » Anzahl der Partitionen (Quadtree- oder Intervall-basiert) ist proportional zum Umfang (2d) bzw. zur Oberfläche (3d) des Objekts, da eine Raumunterteilung nur zur Randkodierung des Objekts nötig ist.
 - » je kleiner das Verhältnis von Oberfläche zu Volumen, desto höher die Redundanz.
 - » raumpartitionierende Verfahren für komplex strukturierte Objekte wie z.B. Kabelstränge, Leitungen nicht geeignet.

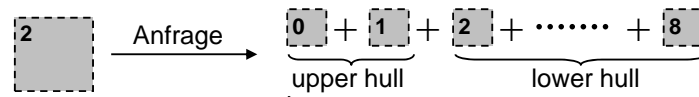
Beispiel für komplexes Objekt:
Fahrwerk eines Autos



- Räumliche Anfrage:
 - Problem:
 - » (Anfrage-)Objekte zerfallen in viele Partitionen (Quadtree-basierte Zerlegung)



- » jede Partition des Anfrageobjektes führt zu mehreren Partitions-Schlüsseln, die angefragt werden müssen



Anfrage = Sequenz von Primärschlüssel

⇒ sehr viele (Einzel-)Anfragen notwendig ⇒ Anfrage sehr teuer

- Ziel: Reduktion der Anfragekosten durch
 - Vermeidung von Redundanz
 - » sammeln aller Anfragepartitionen und Löschen redundanter Partitionen bevor Anfrage startet
 - Geeigneten Indexdurchlauf
 - » geeignete Wahl zwischen Scan auf Blattebene und Index-basierter Suche

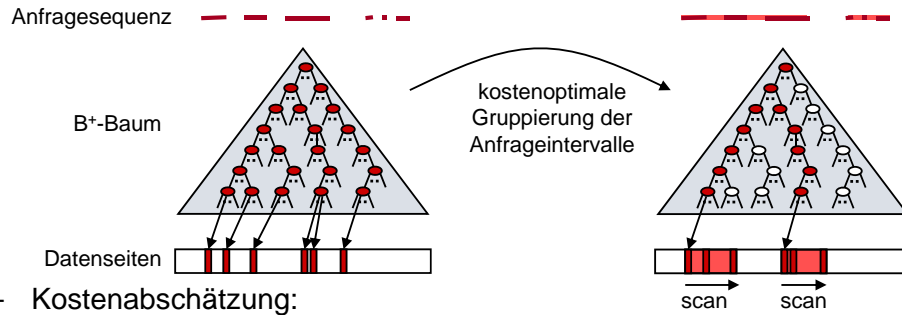
• **Kostenbasierte Suche:**

[Kriegel, Kunath, Pfeifle, Renz: Proc. Int. Conf. on Database Systems for Advanced Applications (DASFAA), 2004]

- Idee: optimale Nutzung des partiellen Scans im B⁺-Baum durch Bildung von Bereichsanfragen
- Gegeben: Anfragesequenz als Menge von Bereichsanfragen

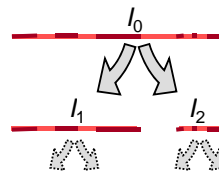


- Prinzip: kostenoptimale Gruppierung von Bereichsanfragen



- **Kostenabschätzung:**
 - » I/O-Kosten für Suche im B⁺-Baum ~ Höhe des B⁺-Baum
 - » I/O-Kosten für Scan auf Blattebene: Abschätzung mittels Statistiken über die Verteilung der Daten auf Blattebene gemäß dem Suchschlüssel

- **Kostenbasierte Anfrage (Bildung der finalen Anfragesequenz):**
 - » konservative Approximation der Anfrage mit nur einem Anfragebereich I_0
 - » rekursive Zerlegung von I_0 mit dem Ziel die geschätzten Anfragekosten zu minimieren (Zerlege I_0 in I_1 und I_2 , falls $K(I_1) + K(I_2) < K(I_0)$)



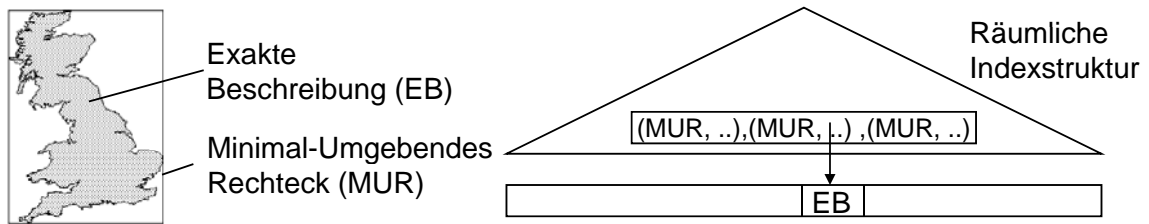
- » Zerlegungsheuristik: Zerteile approximierten Anfragebereich an der größten Lücke zwischen zwei Anfragebereichen
- » Zerlegungsalgorithmus:

```

Decompose(I0)
{
  zerlege I0 in I1 und I2 (z.B. durch Split an der größten Lücke)
  schätze Kosten: K(I0), K(I1), K(I2)
  if K(I0) > K(I1) + K(I2) then
    report {Decompose(I1) ∪ Decompose(I2)};
  else
    report I0;
}
    
```

3.1.2 Datenpartitionierende Anfrage-Methoden

- Grundlegende Idee:
 - direkte Verwaltung von räumlichen Objekten anstatt Verwaltung von Raumpartitionen
 - Problem: räumliche Objekte variieren stark in ihrer Größe (Größe = benötigter Speicherplatz), sind aber auf Seiten fester Größe abzuspeichern
 - Organisation von vereinfachten Räumlichen-Objekten (**Approximationen**), z.B. minimal umgebende Rechtecke (MUR)
 - Verweis auf die exakte Beschreibung (EB) der Räumlichen-Objekte



– Konservative (redundanzfreie) Approximationen

- enthalten das zu approximierende Objekt vollständig
- dienen insbesondere zur Bestimmung von Fehltreffern (Beispiel: $\neg(a.kons_appr \cap b.kons_appr) \Rightarrow \neg(a \cap b)$)
- Vergleich verschiedener konservativer Approximationen (redundanzfreie Approximationen)



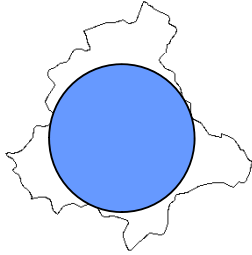
Approximation:	Kreis	MUR	Ellipse	gedrehtes MUR	4-Eck	5-Eck	Konvexe Hülle
Güte:	215%	193%	168%	162%	144%	133%	123%
# Parameter:	3	4	5	5	8	10	O(n)

(Güte = durchschnittliche Flächen der Approximationen in Prozent zur exakten Objektfläche (=100%) [BKS 93])

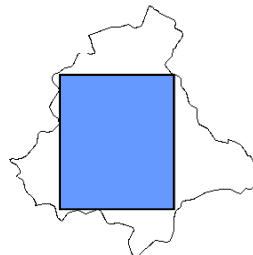
→ 5-Eck: guter Kompromiss zwischen Genauigkeit und Speicherplatzbedarf

– Progressive Approximationen

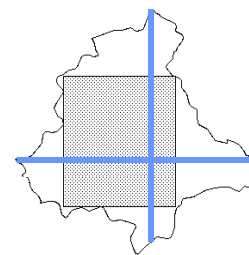
- sind vollständig im zu approximierenden Objekt enthalten
- dienen insbesondere zur Bestimmung von Treffern
(Beispiel: $(a.\text{prog_appr} \cap b.\text{prog_appr}) \Rightarrow (a \cap b)$)
- Berechnung schwierig (insbesondere für maximale progressive Approximationen)



Kreis
(42%)



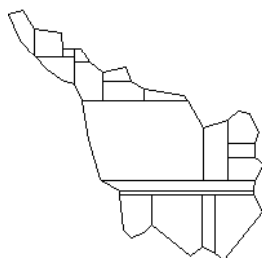
Rechteck
(45%)



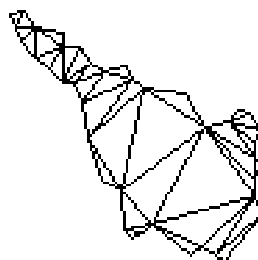
Rechteck + Strecken

– Strukturelle Zerlegung (redundante Approximation)

- Prinzip:
 - Zerlegung der Objekte in mehrere einfache Basiskomponenten
- Vorteile:
 - Vereinfachung der algorithmischen Komplexität von Anfragen und Operationen (z.B. Flächenberechnung, etc.)
 - Lokalität von Anfragen und Operationen kann ausgenutzt werden (Unterstützung von partiellen Objekt-Zugriff)
 - => effiziente Anfragebearbeitung (bei selektiven Anfragen)
- Zerlegungsvarianten:



konvexe Zerlegung



Dreiecks-Zerlegung

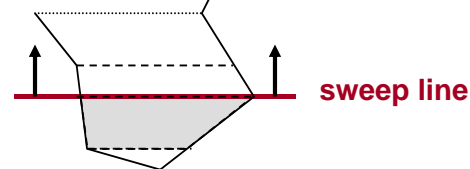


Zerlegung in Trapeze

- Zerlegung eines Polygons in (achsenparallele) Trapeze (Asano+Asano 1983)

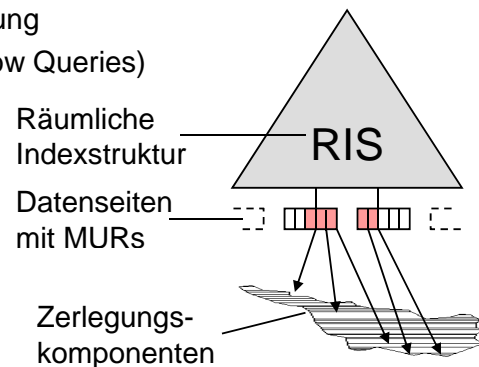


- Berechnung durch Plane-Sweep-Algorithmus: $O(n \log n)$ für n Eckpunkte

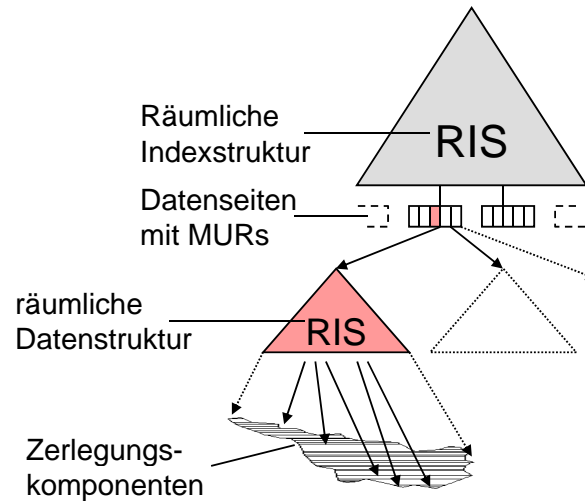


- Speicherplatzaufwand
 - » Anzahl der Komponenten = n bei n Eckpunkten
 - » Aber: Vervielfachung des Speicherplatzes da nun Trapeze statt Punkten verwaltet, d.h. abgespeichert werden

- Beobachtung
 - Operationen auf Zerlegungskomponenten sind einfach
 - Aber: Anzahl der Zerlegungskomponenten = $O(n)$
 - Kein Gewinn, falls alle Komponenten getestet werden
 - Einsatz von Datenstrukturen zur Auswahl "relevanter" Komponenten
 - Einsatz von räumlichen Indexstrukturen (RIS)
- 1. Ansatz
 - Eine RIS verwaltet Zerlegungskomponenten aller Objekte
 - Redundanz bei der Anfragebearbeitung (betrifft insbesondere größere Window Queries)

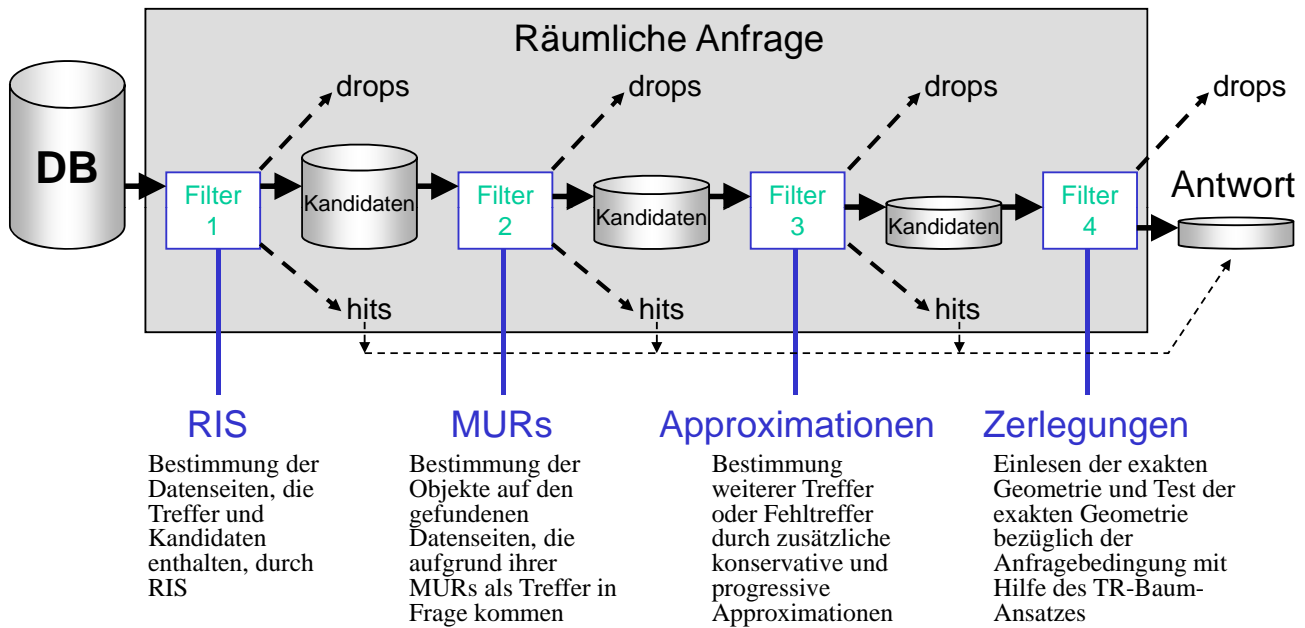


- 2. Ansatz
 - Eine RIS verwaltet die Objektapproximationen (MUR) aller Objekte
 - Für jedes Objekt verwaltet eine separate räumliche Datenstruktur die Zerlegungskomponenten dieses Objektes
 - Wenn die exakte Objektgeometrie untersucht werden muss, werden die Zerlegungskomponenten einschließlich der zugehörigen räumlichen Datenstruktur vom Sekundärspeicher in den Hauptspeicher eingelesen



- TR-Ansatz (Ausprägung des 2. Ansatzes)
 - Verwende R-Baum zur Verwaltung der Zerlegungskomponenten
- Anpassung des R-Baums an die neuen Anforderungen (TR-Baum):
 - TR-Baum soll für den Hauptspeicher ausgelegt werden
 - » möglichst kleine Knotengröße
 - TR-Baum soll möglichst schnell in den Hauptspeicher eingelesen werden
 - » kompakte Speicherung auf dem Plattenspeicher
 - » kein dynamischer Aufbau, keine Adressneuberechnungen
 - TR-Baum sollte möglichst kompakt gespeichert sein
- Eigenschaften des TR-Baums
 - sehr schnelle Bearbeitung geometrischer Operationen (z.B. Punkt-In-Polygon-Test)
 - erheblich höherer Speicherplatzbedarf
 - (und damit höhere Übertragungskosten beim Einlesen der exakten Geometrie)

– Mehrstufige Anfragebearbeitung für räumliche Objekte

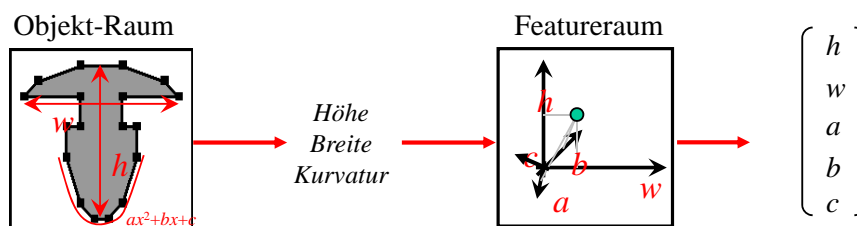


- GENESYS: Prototyp-System, das diese Anfragebearbeitung realisiert

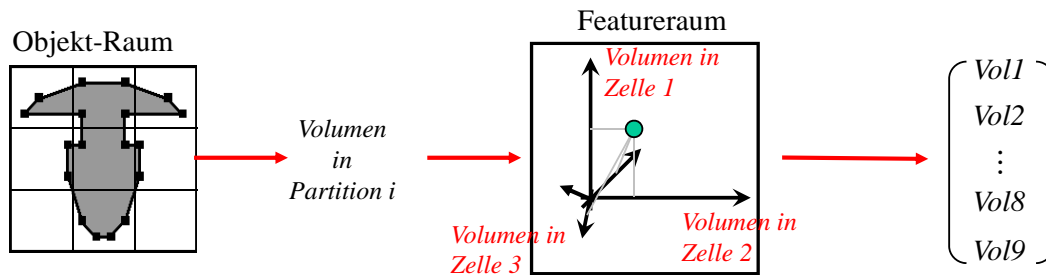
3.2 Ähnlichkeitsmodelle für räumliche Objekte

– Feature Transformation für räumliche Objekte

- Ziel: „gute“ Beschreibung der realen Objekte als Featurevektoren (metrisch oder besser: Euklidisch)
 - Ähnlichkeit im Objektraum \approx Ähnlichkeit im Featureraum
 - D.h. Merkmale sollten „sinnvoll“ / „aussagekräftig“ sein
- Möglichkeit 1:
 - Extrahiere Merkmale für das gesamte Objekt

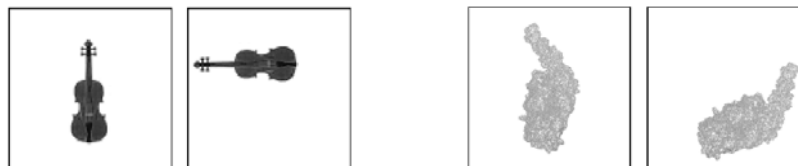


- Möglichkeit 2:
 - Partitioniere Objektraum
 - » **Objekt-spezifische Partitionierung:** das Objekt wird zerlegt, unabhängig davon, wie es im Datenraum liegt
 - » **Datenraum-spezifische Partitionierung:** der Datenraum wird zerlegt, unabhängig davon, wie das Objekt darin liegt
 - Extrahiere Merkmale aus einzelnen Partitionen
 - » Z.B. Volumen des Objekts in jeder Partition



– Invarianzen

- Gleichheit (oder Ähnlichkeit) von Formen unabhängig von Lage und Orientierung im Raum
- Beispiele gleicher Formen im 2D und im 3D:

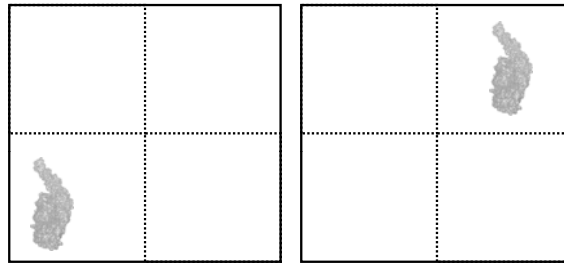


- Meist erwünscht (je nach Anwendung):
 - Kanonische Darstellung, d.h. ohne Lage- und Orientierungsinformation
 - Verallgemeinerung auf andere Objekteigenschaften
- Formal
 - Sei $F: \text{OBJ} \rightarrow (\text{Dom}, \text{dist})$ eine Featuretransformation und $F(O) \in \text{Dom}$ die Featurerepräsentation von $O \in \text{OBJ}$ im Featureraum
 - Sei K eine Klasse von Transformationen auf OBJ
 - F ist invariant gegenüber K , wenn für alle $T \in K$

$$\text{dist}(F(O_1), F(O_2)) = \text{dist}(F(T(O_1)), F(O_2)) = \text{dist}(F(O_1), F(T(O_2)))$$

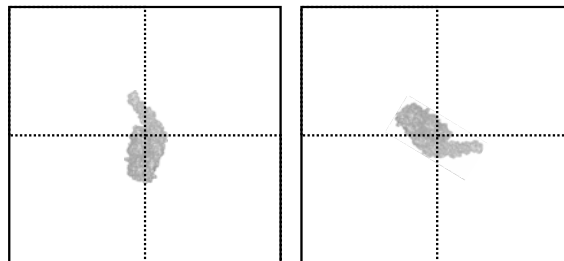
– Die wichtigsten Invarianzen

• Translation

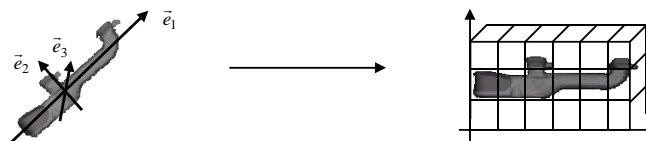


- Falls Ähnlichkeitsmodelle NICHT translationsinvariant
 - » Verschiebung des Schwerpunkts eines Objektes in den Ursprung bevor die Featuretransformation berechnet wird

• Rotation

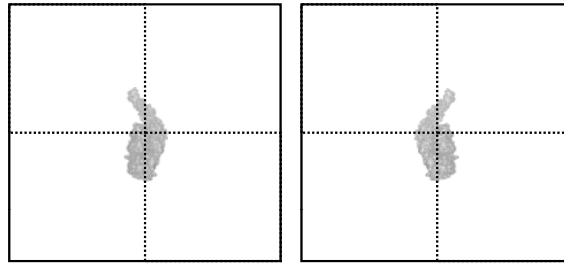


- In manchen Anwendungen reicht Invarianz bzgl. gewisser Rotationswinkel
 - » CAD: Konstrukteure speichern Objekte meist in „vernünftiger“ Lage; dann reicht 90-Grad-Rotationsinvarianz
- Falls Ähnlichkeitsmodelle NICHT rotationsinvariant
 - » **Hauptachsentransformation:** Drehung der Objekte, so dass die Hauptachsen auf den Koordinatenachsen liegen.



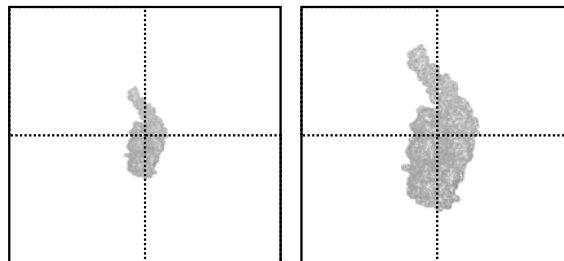
- » **Implizite Permutation:** Berechne alle möglichen Drehungen der Objekte (z.B. alle 90-Grad Drehungen) vorab oder zur Laufzeit

- Spiegelung (Reflexion)

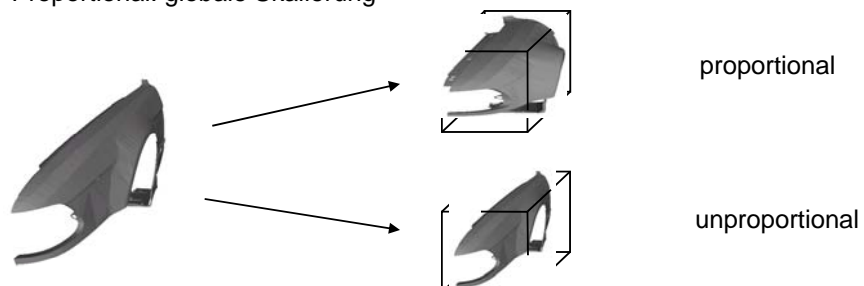


- Falls Ähnlichkeitsmodelle NICHT reflexionsinvariant
 - » **Implizite Permutation:** Berechne alle möglichen Spiegelungen der Objekte (z.B. bzgl. aller räumlichen Achsen) vorab oder zur Laufzeit

- Skalierung



- Die meisten Ähnlichkeitsmodelle sind NICHT skalierungsinvariant
- Reflexionsinvarianz wird meist durch Größen-Normierung des Objektraums
 - » Unproportional: separat entlang jeder räumlichen Achse
 - » Proportional: globale Skalierung



– Die wichtigsten geometrischen Transformationen

- Frage: Wie können Objekte transformiert werden?
- Lösung (siehe auch: Graphische Datenverarbeitung):
 - Darstellung der einzelnen Transformationen Translation, Spiegelung, Rotation, Skalierung als Abbildung
 - Wende die Abbildung auf alle Teile eines räumlichen Objekts an (Pixel, Voxel, (Oberflächen-)Punkte, etc.)
- Formal:
 - Sei $T \in \{\text{Translation, Reflexion, Skalierung, Rotation}\}$
 - Sei $\text{obj} \in \text{OBJ}$ gegeben als Menge von Punkten (z.B. Mittelpunkte der Voxel oder Oberflächensegmente, etc.)
d.h. $\text{obj} = \{x \mid x \text{ ist } k\text{-dimensionaler Punkt}\}$
 - $T(\text{obj}) = \text{obj}' := \{T(x) \mid x \in \text{obj}\}$

• Basis-Transformationen im 2D

– transformiere 2D Punkt $p = \begin{bmatrix} x \\ y \end{bmatrix}$ in $p' = \begin{bmatrix} x' \\ y' \end{bmatrix}$

– Translation
$$\begin{bmatrix} x' \\ y' \end{bmatrix} = \begin{bmatrix} dx \\ dy \end{bmatrix} + \begin{bmatrix} x \\ y \end{bmatrix} = \begin{bmatrix} x + dx \\ y + dy \end{bmatrix}$$

– Skalierung
$$\begin{bmatrix} x' \\ y' \end{bmatrix} = \begin{bmatrix} s_x & 0 \\ 0 & s_y \end{bmatrix} \cdot \begin{bmatrix} x \\ y \end{bmatrix} = \begin{bmatrix} x \cdot s_x \\ y \cdot s_y \end{bmatrix}$$

– Rotation
$$\begin{bmatrix} x' \\ y' \end{bmatrix} = \begin{bmatrix} \cos \varphi & -\sin \varphi \\ \sin \varphi & \cos \varphi \end{bmatrix} \cdot \begin{bmatrix} x \\ y \end{bmatrix} = \begin{bmatrix} x \cdot \cos \varphi - y \cdot \sin \varphi \\ x \cdot \sin \varphi + y \cdot \cos \varphi \end{bmatrix}$$

– Spiegelung (x-Achse)
$$\begin{bmatrix} x' \\ y' \end{bmatrix} = \begin{bmatrix} -1 & 0 \\ 0 & 1 \end{bmatrix} \cdot \begin{bmatrix} x \\ y \end{bmatrix} = \begin{bmatrix} -x \\ y \end{bmatrix}$$

- Problem:
 - Matrix-Addition und Matrix-Multiplikation nicht kombinierbar, daher auch die Transformationen nicht beliebig kombinierbar („nicht homogen“)
- Lösung:
 - Stelle alle Abbildungen als Matrix-Multiplikation dar
 - Dazu: 3D -Repräsentation der 2D Punkte

– Stelle $p = \begin{bmatrix} x \\ y \end{bmatrix}$ als 3D Vektor $\hat{p} = \begin{bmatrix} X \\ Y \\ w \end{bmatrix}$ dar

– Dabei ist w der **Skalierungsfaktor**; X und Y sind **homogene Koordinaten**

– Kartesische Koordinaten Punktes p ergeben sich aus den homogenen Koordinaten: $x = X/w$ und $y = Y/w$

– Homogenisierung: $\begin{bmatrix} X \\ Y \\ w \end{bmatrix} \rightarrow \begin{bmatrix} x/w \\ y/w \\ 1 \end{bmatrix} = \begin{bmatrix} x \\ y \\ 1 \end{bmatrix}$

– Translation

$$\begin{bmatrix} x' \\ y' \\ 1 \end{bmatrix} = \begin{bmatrix} 1 & 0 & dx \\ 0 & 1 & dy \\ 0 & 0 & 1 \end{bmatrix} \cdot \begin{bmatrix} x \\ y \\ 1 \end{bmatrix} = \begin{bmatrix} x + dx \\ y + dy \\ 1 \end{bmatrix}$$

– Skalierung

$$\begin{bmatrix} x' \\ y' \\ 1 \end{bmatrix} = \begin{bmatrix} s_x & 0 & 0 \\ 0 & s_y & 0 \\ 0 & 0 & 1 \end{bmatrix} \cdot \begin{bmatrix} x \\ y \\ 1 \end{bmatrix} = \begin{bmatrix} x \cdot s_x \\ y \cdot s_y \\ 1 \end{bmatrix}$$

– Rotation

$$\begin{bmatrix} x' \\ y' \\ 1 \end{bmatrix} = \begin{bmatrix} \cos \varphi & -\sin \varphi & 0 \\ \sin \varphi & \cos \varphi & 0 \\ 0 & 0 & 1 \end{bmatrix} \cdot \begin{bmatrix} x \\ y \\ 1 \end{bmatrix} = \begin{bmatrix} x \cdot \cos \varphi - y \cdot \sin \varphi \\ x \cdot \sin \varphi + y \cdot \cos \varphi \\ 1 \end{bmatrix}$$

– Spiegelung (x-Achse)

$$\begin{bmatrix} x' \\ y' \\ 1 \end{bmatrix} = \begin{bmatrix} -1 & 0 & 0 \\ 0 & 1 & 0 \\ 0 & 0 & 1 \end{bmatrix} \cdot \begin{bmatrix} x \\ y \\ 1 \end{bmatrix} = \begin{bmatrix} -x \\ y \\ 1 \end{bmatrix}$$

- Matrizen der wichtigsten Basis-Transformationen im 3D
(homogenisiert => 4D Matrizen)

Translation	Skalierung	Spiegelung (x-Achse)
$\begin{bmatrix} 1 & 0 & 0 & dx \\ 0 & 1 & 0 & dy \\ 0 & 0 & 1 & dz \\ 0 & 0 & 0 & 1 \end{bmatrix}$	$\begin{bmatrix} s_x & 0 & 0 & 0 \\ 0 & s_y & 0 & 0 \\ 0 & 0 & s_z & 0 \\ 0 & 0 & 0 & 1 \end{bmatrix}$	$\begin{bmatrix} -1 & 0 & 0 & 0 \\ 0 & 1 & 0 & 0 \\ 0 & 0 & 1 & 0 \\ 0 & 0 & 0 & 1 \end{bmatrix}$

90-Grad Rotation um x-Achse 90-Grad Rotation um y-Achse 90-Grad Rotation um z-Achse

$\begin{bmatrix} 1 & 0 & 0 & 0 \\ 0 & 0 & -1 & 0 \\ 0 & 1 & 0 & 0 \\ 0 & 0 & 0 & 1 \end{bmatrix}$	$\begin{bmatrix} 0 & 0 & 1 & 0 \\ 0 & 1 & 0 & 0 \\ -1 & 0 & 0 & 0 \\ 0 & 0 & 0 & 1 \end{bmatrix}$	$\begin{bmatrix} 0 & -1 & 0 & 0 \\ 1 & 0 & 0 & 0 \\ 0 & 0 & 1 & 0 \\ 0 & 0 & 0 & 1 \end{bmatrix}$
---	---	---

– Übersicht

- Große Anzahl an Ähnlichkeitsmodellen für verschiedene Anwendungen und Objektrepräsentationen
(Pixel/Voxel, Polygone, Triangulierte Oberflächen, Oberflächenpunkte, etc.)
- **Beispiele** [Iyer, Lou, Jayanti, Kalyanaraman, Ramani. Computer Aided Design, 37(5), 2005]
 - Geometrisches Hashing
 - Algebraische Moment-Invarianten
 - Iterative Closest Points (ICP)
 - Partielle Ähnlichkeitssuche mit Fourier-Transformation
 - Angular Profile, LWL-Codierung (Länge-Winkel-Länge)
 - Section Coding
 - Spherical Harmonics
 - etc.
- Im folgenden: kleine Auswahl

3.2.1 Formhistogramme für 2D und 3D Objekte

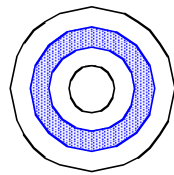
[Ankerst, Kastenmüller, Kriegel, Seidl. Proc. Int. Symp. Large Spatial Databases (SSD), 1999]

– Anwendung:

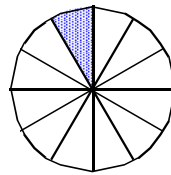
- Objekte sind Mengen von Oberflächenpunkten
- CAD-Bausteine, Moleküle, etc.

– Grundidee: Formhistogramme

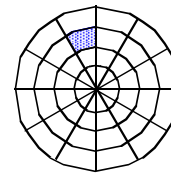
- Partitioniere den Objektraum (2D/3D)
- Bestimme Anzahl von Oberflächenpunkten des Objekts pro Zelle (normiertes Histogramm; unabhängig von Punktdichte)
- Verschiedene Raumpartitionierungen



Schalenmodell

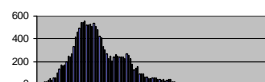
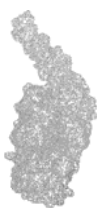


Sektorenmodell

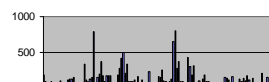


Kombiniertes Modell

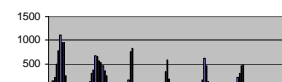
• Beispiel: Protein-Oberfläche



Schalenmodell
(120 Schalen)



Sektorenmodell
(122 Sektoren)



Kombiniertes Modell
(20 Schalen, 6 Sektoren)

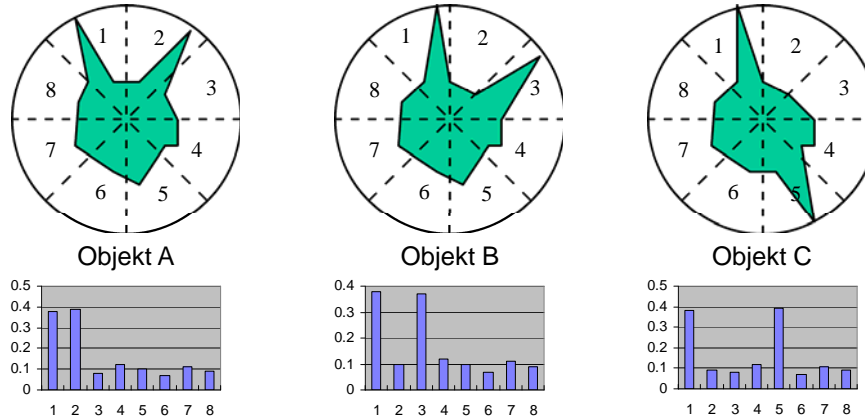
• Histogramm-Definition modell-spezifisch

- **Schalenmodell:** Definiere die Bins über den Abstand zum Mittelpunkt, d.h. Anzahl der Punkte auf der jeweiligen Schale.
- **Sektorenmodell:** Anzahl der Punkte im jeweiligen Sektor.
- **Kombiniertes Modell:** Synthese aus Schalen- und Sektorenmodell

• Invarianzen

- **Rotationsinvarianz** beim Schalenmodell

• Problem mit der euklidische Distanz auf Histogrammen



- Objekt C ist genauso ähnlich zu Objekt A wie Objekt B zu Objekt A
- Lage der Histogramm-Bins wird nicht berücksichtigt

• Lösung:

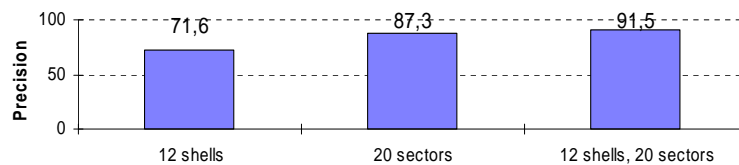
- Quadratische Formdistanz als Distanzfunktion verwenden

$$dist(p, q) = \sqrt{(p - q) \cdot A \cdot (p - q)^T} = \sqrt{\sum_{i=1}^d \sum_{j=1}^d a_{i,j} (p_i - q_i)(p_j - q_j)}$$

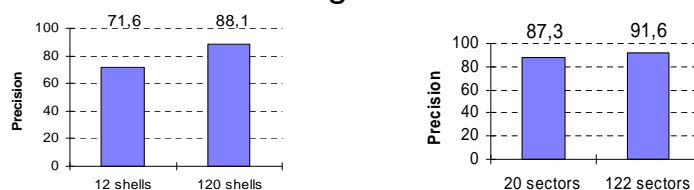
- Ähnlichkeitsmatrix $A = [a_{i,j}]$ enthält die Ähnlichkeit von Einträgen in den Zellen i und j der Raumpartitionierung
- Eintrag $a_{i,j}$ aus Abstand $d_{i,j}$ der Zellen i,j berechnen: $a_{i,j} = e^{-\sigma(d_{i,j}/d_{max})^2}$
- Verwende z.B. Euklidische Distanz als Abstand $d_{i,j}$

• Experimentelle Untersuchung zur Wahl der Partitionierung

- Datenbank mit Protein-Molekülen, K-NN (k=1) Anfragen mit jedem einzelnen Protein, Precision als Gütemaß



• Experimentelle Untersuchung: Granularität der Partitionierung

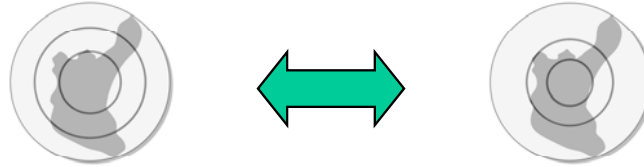


3.2.2 Erweiterungen der Formhistogramme

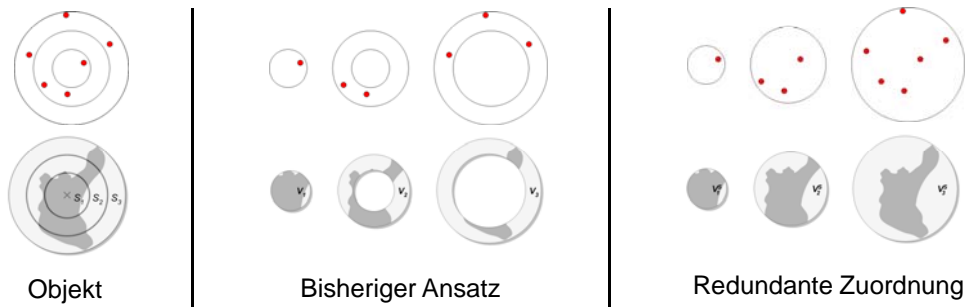
– Verbesserung der Formhistogramme

[Aßfalg, Kriegel, Kröger, Pötke. Proc. Int. Symp. on Spatial and Temporal Databases (SSTD), 2005]

- Proportionale Aufteilung



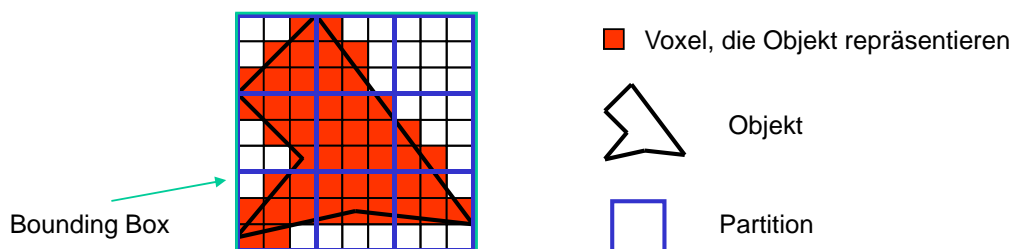
- Redundante Zuordnung zu den Bins



– Erweiterung für Voxelisierte Objekte

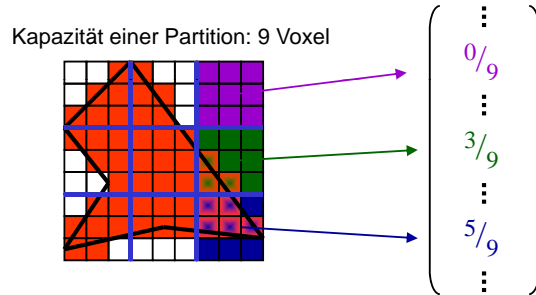
[Kriegel, Kröger, Mashael, Pfeifle, Pötke, Seidl. Proc. Int. Conf. Database Systems for Advanced Applications (DASFAA), 2003]

- Partitionierung
 - Kugelförmige Partitionierung ist bei Voxelmengen nicht sinnvoll
 - » Voxel können auf Schnittfläche zwei oder mehr Partitionen liegen
 - » Zu welchen Partitionen sollen diese Voxel hinzugezählt werden?
 - » Sollen Voxel zu in mehreren Partitionen hinzu gezählt werden?
 - Daher: würfelförmige Partitionierung der Bounding Box eines Objekts
 - » Jedes Voxel liegt in genau einer Zelle
 - » ACHTUNG: Partitionierung nicht mehr rotationsinvariant



• Räumliche Features

- Volumen Modell (ursprünglicher Ansatz)
 - » Anzahl der Objekt-Voxel pro Partition
 - » Normiert mit der Kapazität einer Partition (# aller Voxel pro Zelle)



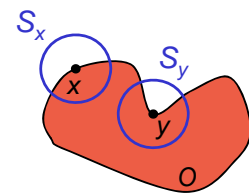
- Bewertung:
 - » Einfaches Modell
 - » Erweiterung: extrahiere andere Features, die die Form des Objekts innerhalb der Zellen beschreibt („Shape Descriptor“):
 - Solid Angle Wert: beschreibt die Konvexität/Konkavität
 - Eigenwerte der Hauptachsen: beschreiben die Varianz entlang der Hauptachsen (Objektausrichtung)

- Solid Angle Modell

- » Voxelierte Referenzsphäre S_c um Zentrums-Voxel c
- » Berechnen für jedes Oberflächen-Voxel v von Objekt o den SA-Wert:

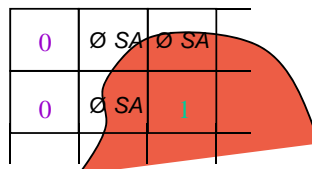
$$SA(v) = \frac{|S_v \cap V^o|}{|S_v|}$$

V^o = Voxelmeng, die Objekt o repräsentiert



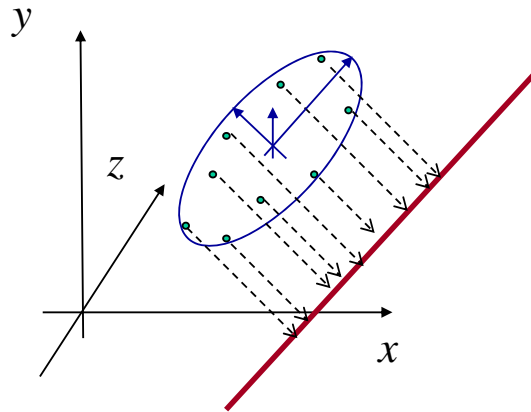
- » Berechne für jede Zelle z ein Feature $f(z)$:
 - $f(z) = 0$ falls z keine Objekt-Voxel enthält
 - $f(z) = 1$ falls z nur Voxel aus dem Inneren des Objekts enthält

$f(z) = \frac{1}{m} \sum_{i=1}^m SA(v_i)$ falls z m Oberflächen-Voxel v_i des Objekts enthält (durchschnittlicher SA-Wert aller Oberflächenvoxel in z)

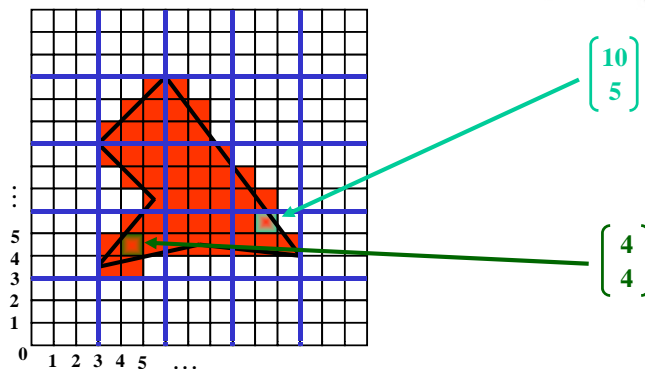


– Eigenwert Modell

- » Hauptachsenanalyse (PCA)
- » Eigenvektoren und Eigenwerte spannen das minimal umgebende Ellipsoid einer Punktmenge auf
- » Eigenvektoren repräsentieren die Hauptachsen (Hauptausdehnungen) der Punktmenge; stehen senkrecht aufeinander
- » Eigenwerte modellieren die Streuung der Punktmenge entlang dieser Hauptachsen
- » Extrahiere diese Streuung der Voxelmenge innerhalb einer Zelle als Feature



- » Modelliere jedes Voxel v des Objekts o als Vektor $\vec{v}^o = \begin{pmatrix} x \\ y \\ z \end{pmatrix}$



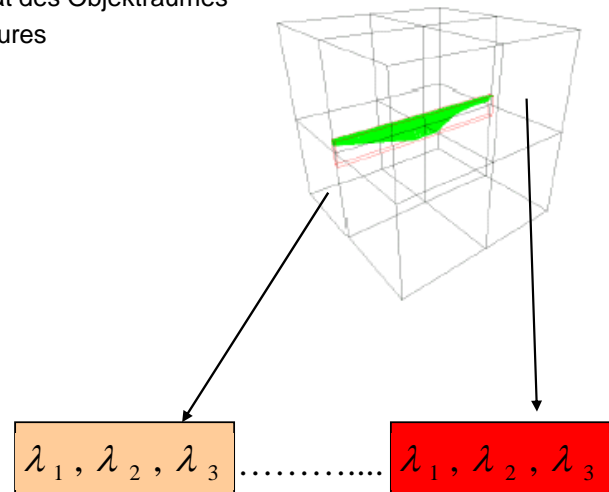
- » PCA: Kovarianzmatrix von Voxeln des Objekts o in Zelle i

$$\text{Cov}_i^o = \frac{1}{|V_i^o| - 1} \begin{pmatrix} \sum_{j=1}^{|V_i^o|} x_j^2 & \sum_{j=1}^{|V_i^o|} x_j y_j & \sum_{j=1}^{|V_i^o|} x_j z_j \\ \sum_{j=1}^{|V_i^o|} x_j y_j & \sum_{j=1}^{|V_i^o|} y_j^2 & \sum_{j=1}^{|V_i^o|} y_j z_j \\ \sum_{j=1}^{|V_i^o|} x_j z_j & \sum_{j=1}^{|V_i^o|} y_j z_j & \sum_{j=1}^{|V_i^o|} z_j^2 \end{pmatrix}$$

V_i^o = Voxelmenge in Zelle i , die Objekt o repräsentiert

- » Bestimmung der Eigenwerte $\lambda_1, \dots, \lambda_d$ der Kovarianzmatrix
- » Für 3D Objekte 3 Eigenwerte
- » Allgemein: d = Dimensionalität des Objektraumes
- » Pro Zelle z : extrahiere d Features

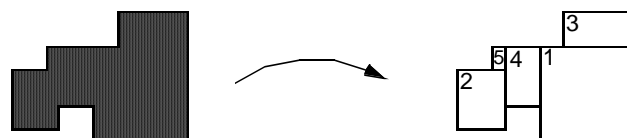
$$f(z) = \begin{pmatrix} \lambda_1 \\ \vdots \\ \lambda_d \end{pmatrix}$$



- Vergleich: Bei k Zellen
 - » Volumen Modell: d -dimensionales Objekt entspricht k -dimensionalem Vektor
 - » Solid Angle Modell: d -dimensionales Objekt entspricht k -dimensionalem Vektor
 - » Eigenwert Modell: d -dimensionales Objekt entspricht $(d \cdot k)$ -dimensionalem Vektor

3.2.3 Überdeckungsmodell für 2D-Formen

- Idee [Jagadish. Proc. ACM Int. Conf. on Management of Data (SIGMOD) 1991]
 - Ähnlichkeitsmodell für 2D Objekte (leicht erweiterbar auf 3D)
 - Distanzfunktion: Flächeninhalt der symmetrischen Differenz zweier Formen.
 - Hier: Translations- und skalierungsinvariant, nicht jedoch rotationsinvariant.
 - Vorgehen: Repräsentation der Formen durch rechteckige Überdeckungen.
 - Speicherung der Rechtecksflächenmaßzahlen z.B. der Größe nach geordnet.



– Objektmodell

- Formen sind als konturierte Objekte gegeben (d.h. Polygone)
- Extraktion von Formen aus Grauwertbildern möglich, solange klare Konturen bestimmt werden können (Probleme z.B. bei teilweise verdeckten Objekten)
- Polygone müssen nicht konvex sein (Einbuchtungen möglich)

– Rechtecksüberdeckung

- **Additive Überdeckung**

Durch eine Folge von Rechtecken $[R_1, R_2, \dots, R_k]$ ist eine Folge von additiven Überdeckungen $[C_0, C_1, \dots]$ wie folgt definiert:

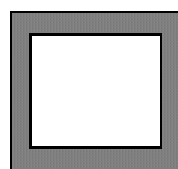
$$C_0 = \emptyset, \quad C_{i+1} = C_i \cup R_{i+1}$$

- **Allgemeine Überdeckung**

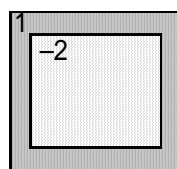
Neben dem Hinzufügen von Rechtecksflächen (\cup) ist auch das Entfernen von Rechtecksflächen ($-$) möglich:

$$C_0 = \emptyset, \quad C_{i+1} = C_i \cup R_{i+1} \quad \text{oder} \quad C_{i+1} = C_i - R_{i+1}$$

- Für endliche Formen S konvergieren (additive) Überdeckungssequenzen schon im Endlichen, d.h. es gibt ein K , so dass $C_K = S$, und wir definieren $C_j = C_K$ für $j \geq K$.
- Überlappungen sind erlaubt, sollen aber möglichst gering ausfallen

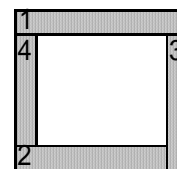
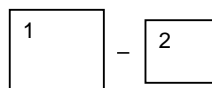


Form



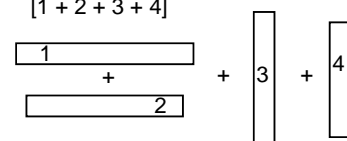
Allgemeine Überdeckung

Sequenz:
[1 - 2]



Additive Überdeckung

Sequenz:
[1 + 2 + 3 + 4]

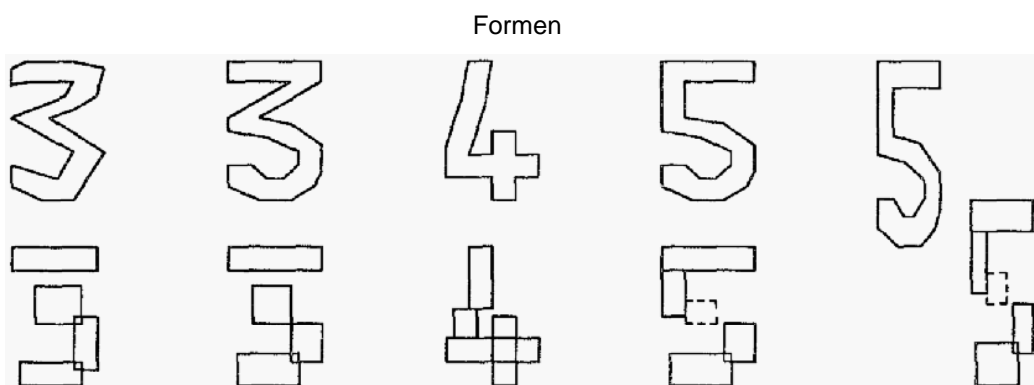


- Approximative Rechtecksüberdeckungen
 - Statt *alle* Rechtecke einer Überdeckung nur *wenige* speichern
 - Entfernen kleiner Rechtecke entspricht dem Beseitigen hochfrequenter Fehler wie Schmutzflecken oder Diskretisierungsfehlern (z.B. bei eingescannten Bildern, Voxelisierung, etc.)
- Approximationsqualität
 - Die ersten Rechtecke einer Überdeckung sollen schon eine möglichst gute Approximation der ursprünglichen Form liefern
 - Kumulatives Fehlerkriterium: Die Approximationsfehler der Überdeckungssequenz $[C_0, C_1, \dots, S]$ werden sukzessive aufsummiert, die Gesamtsumme zählt:

$$\text{kumulativer Fehler} = \sum_{i=1}^n |S - C_i|$$

- Minimierung der Gesamtsumme:
 - => Minimierung der "frühen" Fehler $|S - C_i|$ für kleine i , da diese mehrfach gewertet werden

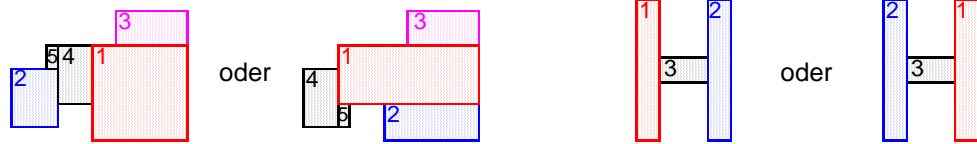
- Beispiel [Jagadish. Proc. ACM Int. Conf. on Management of Data (SIGMOD) 1991]



„erste“ Rechtecke der Überdeckungssequenz

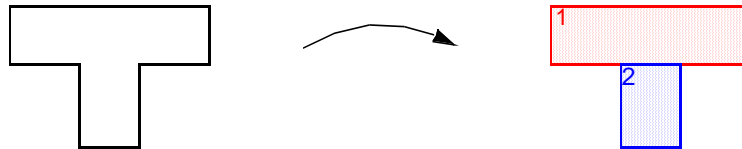
• Probleme der Rechtecksüberdeckung

- Nicht-eindeutige Repräsentation
 - » Es kann unterschiedliche optimale Zerlegungen eines Objektes geben
 - » Insbesondere bei Symmetrie ist die Reihenfolge der Rechtecke nicht eindeutig
 - » Lösung: Objekt mehrfach speichern oder mehrfache Anfragen für eine Form



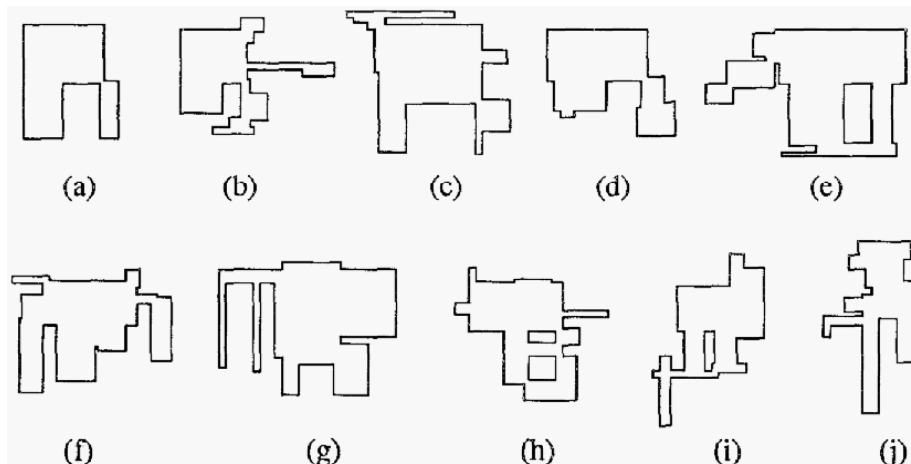
- Rechteckige Formen

- » Wird eine Form schon durch wenige Rechtecke exakt beschrieben, besteht die Überdeckungssequenz ggf. aus weniger Elementen, als bei anderen Objekten
- » Lösung: speichere „dummy“ Rechtecke (ohne Ausdehnung)



• Ähnlichkeitsanfragen

- Testbed
 - » Datenbank: 16.000 synthetische Formen
 - » Form = Zusammensetzung von 10 zufällig erzeugten Rechtecken
 - » Additive Überdeckungen; jeweils die größten drei Rechtecke der Überdeckung in Index abgespeichert
 - » Anfragen: Bereichsanfragen um zufällig ausgewählte Formen der Datenbank
- Beispiel für das Ergebnis einer Ähnlichkeitsanfrage:
 - (a): Anfrageform; b – j: Ergebnisformen



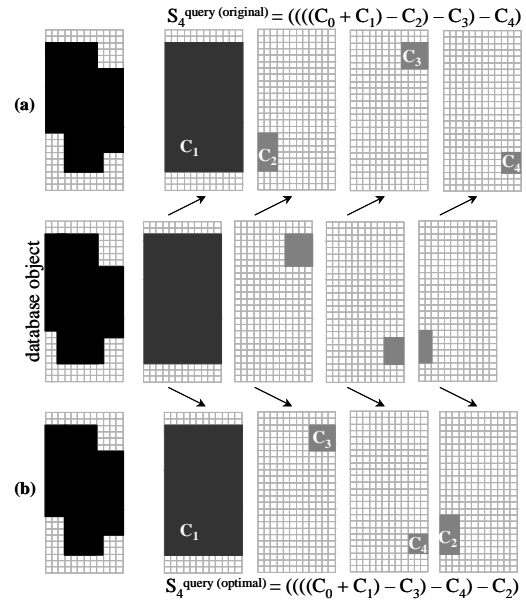
Quelle:
 [Jagadish. Proc. ACM Int. Conf. on Management of Data (SIGMOD) 1991]

3.2.4 Erweiterung des Überdeckungsmodell für 3D-Objekte

[Kriegel, Brecheisen, Kröger, Pfeifle, Schubert. Proc. ACM Int. Conf. on Management of Data (SIGMOD) 2003]

– Motivation:

- Ähnlichkeitsmodell für voxelisierte 3D-CAD Daten
- Ziel: Größere Flexibilität beim Vergleich einzelner Überdeckungen innerhalb einer Überdeckungssequenz.
 - Löst das Problem der uneindeutigen Überdeckungssequenz ohne (Query-)Objekte mehrfach abzuspeichern

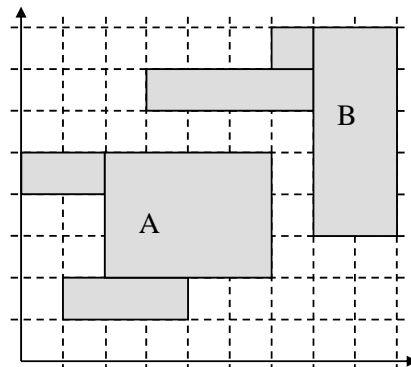


– Idee:

- Objekt wird nicht mehr durch einen großen Feature-Vektor repräsentiert (Parameter der ersten k Überdeckungen)
- Objekt wird nun durch eine Menge von Feature Vektoren repräsentiert
 - Jede Überdeckung wird zu einem 2-D-dimensionalen Feature-Vektor
 - » Koordinaten für den Eckpunkt der Überdeckung (D Werte)
 - » Ausdehnungen der Überdeckungen entlang der Raumachsen (D Werte)
 - Überdeckungssequenz wird zu einer Menge von Feature Vektoren
 - 2D Beispiel

Mengen!!!

$$\begin{cases} A = \{(1,1,3,1), (2,2,4,3), (0,4,2,1)\} \\ B = \{(7,3,2,4), (3,6,4,1), (6,7,1,1)\} \end{cases}$$



– Abstand auf Punktmengen

- Mengen Aufzählung
 - Sei S eine endliche Menge
 - Abbildung $\pi(S)$ heißt **Aufzählung** von S , wenn jedem $s \in S$ eine eindeutige Nummer zuordnet, d.h. $\pi(s) = i \in \{1, \dots, |S|\}$
 - $\Pi(S)$ bezeichnet die Menge aller möglichen Aufzählungen von S
- Minimal Matching Distance
 - Distanz zwischen Punktmengen X und Y
 - Formal („Minimal Weight Perfect Matching Distance“):
Sei $X = (x_1, \dots, x_{|X|})$, $Y = (y_1, \dots, y_{|Y|})$, wobei oBdA $|X| \leq |Y|$
Sei w eine Gewichtsfunktion für nicht zugeordnete Punkte

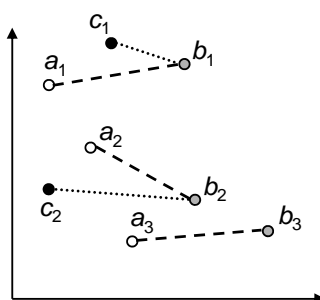
$$\text{MinMatchDist}(X, Y) = \min_{\pi \in \Pi(Y)} \left(\underbrace{\sum_{i=1}^{|X|} \text{dist}(x_i, y_{\pi(i)})}_{\text{Jedem } x \text{ genau ein (unterschiedliches) } y \text{ zuordnen}} + \underbrace{\sum_{i=|X|+1}^{|Y|} w(y_{\pi(i)})}_{\text{Jedes noch nicht zugeordnete } y \text{ mit } w \text{ gewichten}} \right)$$

- Metrikeigenschaft hängt von der Gewichtsfunktion w ab

- Gewichtsfunktion basierend auf „Dummy-Vektoren“
 - » $w(v)$ entspricht Distanz von v zum Null-Vektor, d.h.
 $w(v) = \text{dist}(v, \vec{0})$

• Intuition und Beispiel

- Punkte der Punktmengen X und Y sind Knoten in einem bipartiten Graphen
- Kanten (x,y) zwischen den Punkten x und y sind mit $\text{dist}(x,y)$ gewichtet
- Perfektes Matching:
 - » Jeder Knoten in X ist mit genau einem Knoten aus Y verbunden
- Minimales (perfektes) Matching:
 - » Summe der Gewichte der Kanten des Matchings ist minimal



$$\text{MinMatchDist}(A, B) = \text{dist}(a_1, b_1) + \text{dist}(a_2, b_2) + \text{dist}(a_3, b_3)$$

$$\text{MinMatchDist}(C, B) = \text{dist}(c_1, b_1) + \text{dist}(c_2, b_2) + w(b_3)$$

$$\text{mit } w(b_3) = \text{dist}(\vec{0}, b_3)$$

– Anfragebearbeitung

- Motivation:
 - Berechnung des Minimalen Matchings ist teuer („Kuhn-Munkres-Algorithmus“: $O(k^3)$, k = Anzahl der Überdeckungen)
- Lösung:
 - Filter/Refinement
 - Gesucht: billigere Distanz, die Lower Bounding Eigenschaft erfüllt
- Centroid Filter
 - Centroid ist der Schwerpunkt/Mittelpunkt einer Punktmenge
 - Lemma:
 - » Seien X und Y Mengen mit k Vektoren und c_X, c_Y die entsprechenden Centroide
 - » Dann gilt
$$k \cdot L_2(c_X, c_Y) \leq \text{MinMatch}(X, Y)$$
 - » Verwalte Centroide in einem separaten Index
 - » Filter: auf Centroid-Index

